

1 Označení rozdělovacích funkcí

Rozdělovací funkci rychlosti částic budu označovat $g(\vec{v})$, přičemž platí

$$n = \iiint_{-\infty}^{\infty} g(\vec{v}) \, dv_1 \, dv_2 \, dv_3,$$

kde n je koncentrace těchto částic. Pokud rozdělovací funkce není symetrická, tj. závisí na směru vektoru \vec{v} , je možné její tvar hledat ve tvaru nekonečné řady obsahující Legendrovy polynomy kosinu θ , např.

$$g(\vec{v}) = g_0(v) + \cos(\theta)g_1(v) + \dots,$$

kde θ je úhel mezi rychlostí částice a nějakým význačným směrem, nebo v obecnějším případě rozvojem do sférických funkcí. Pokud ale rozdělovací funkce symetrická je, pak lze lehce spočítat rozdělovací funkci velikosti rychlosti částic $g_v(v)$ a rozdělovací funkci energie částic $f(E)$:

$$\begin{aligned} g_v(v) &= 4\pi v^2 g(v) \\ f(E) &= \frac{g_v\left(\sqrt{\frac{2E}{m}}\right)}{\sqrt{2mE}} \end{aligned}$$

Často se místo vlastní rozdělovací funkce uvádí funkce

$$f_P(E) = \frac{f(E)}{\sqrt{E}}$$

v případě elektronů označovaná EEPF (*electron energy probability function*).

Homogenní izotropní soubor částic, na které nepůsobí vnější síly a které se nesráží s jinými částicemi, by byl v rovnováze popsán Maxwellovou rozdělovací funkcí

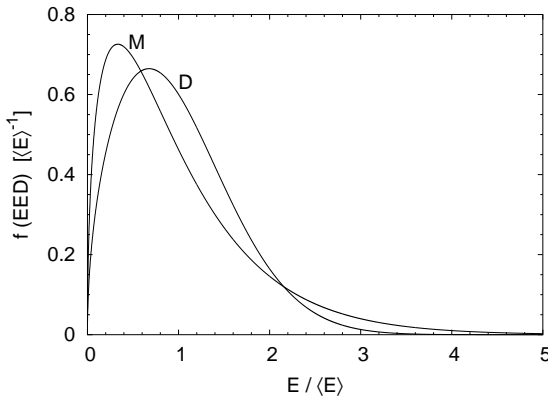
$$\begin{aligned} g(v) &= n \left(\frac{m}{2\pi kT} \right)^{\frac{3}{2}} \exp\left(-\frac{mv^2}{2kT}\right) \\ f(E) &= n \frac{2}{\sqrt{\pi} (kT)^{3/2}} \sqrt{E} \exp\left(-\frac{E}{kT}\right) \end{aligned}$$

V plazmatu se nejčastěji zabýváme rozdělovací funkcí energie elektronů. Když je frekvence vzájemných srážek mezi elektrony vysoká, pak jejich rozdělovací funkce bývá blízká Maxwellově. Pružné srážky s neutrálními částicemi naopak způsobují odklon od Maxwellova rozdělení např. k Druyvesteynovu rozdělení

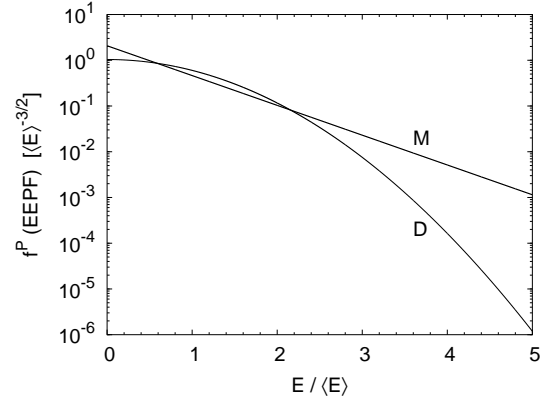
$$f(E) \propto n \sqrt{E} \exp\left(-\frac{E^2}{K}\right),$$

kde K je konstanta související se střední energií elektronů. Řadu rozdělovacích funkcí je možné psát ve tvaru nazývaném standardní rozdělovací funkce

$$\begin{aligned} f(E) &= C_{st} n \sqrt{E} \exp\left\{-\frac{E^\kappa}{2\kappa E_p^\kappa}\right\} \\ C_{st}^{-1} &= 2^{3/2\kappa} k^{(3-2\kappa)/2\kappa} E_p^{3/2} \Gamma(3/2\kappa) \end{aligned}$$



Obrázek 1: Maxwellovo (M) a Druyvesteynovo (D) rozdělení energií.



Obrázek 2: Maxwellova (M) a Druyvesteynova (D) EEPF.

(E_p je nejpravděpodobnější energie). Pro $\kappa = 1$ přejde standardní rozdělení na Maxwellovo, pro $\kappa = 2$ na Druyvesteynovo. Ukázka Maxwellova a Druyvesteynova rozdělení energií je nakreslena na obr. 1, na obr. 2 jsou odpovídající f_P (EEPF). Mnohem výrazněji se ale neutrálky projevují ve vysokoenergetické části rozdělovací funkce díky nepružným srážkám, které snižují koncentraci rychlých elektronů. Naopak vyrážení elektronů z elektrod s následující ionizací ve stěnové vrstvě (*sheath*) nebo stochastický ohřev v silném elektrickém poli na okrajích plazmatu můžou vést ke vzniku skupiny extrémně rychlých elektronů. Skutečný tvar rozdělovací funkce tak může být komplikovaný a může nést mnoho informací o plazmatu.

2 Langmuirova sonda

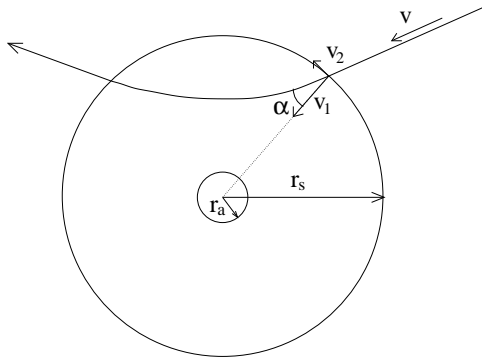
Langmuirovou sondou se nazývá vodič vložený do plazmatu, z jehož V-A charakteristiky je možné určit některé parametry plazmatu, zejména koncentraci a střední energii elektronů, elektrický potenciál plazmatu a rozdělovací funkci energie elektronů. Když sonda není na potenciálu plazmatu, vznikne v jejím okolí vrstva prostorového náboje ovlivňující dráhy nabitých částic. Ne dochází-li v této vrstvě ke srážkám a předpokládáme-li, že za hranicí stěnové vrstvy není plazma sondou ovlivněno, lze relativně jednoduše spočítat, které částice na sondu dopadnou, a zjistit tak proud tekoucí na sondu. V této kapitolce zatím uvedu jen základní vzorce pro výpočet elektrického proudu tekoucího na Langmuirovu sondu. Sondy mívají různé tvary, nejčastější bývá sonda válcová. Zde budou uvedeny vztahy pro rovinou, válcovou a kulovou sondu.

2.1 Tok částic odpuzovaných od sondy

Částice s nenulovou kinetickou energií můžou pronikat i na sondu, která je elektrostaticky odpuzuje, tj. $q(\phi_a - \phi_{pl}) > 0$, pokud mají rychlosť větší než mezní hodnota

$$v^2 \geq \frac{2q(\phi_a - \phi_{pl})}{m},$$

kde q je náboj částice, ϕ_a potenciál sondy a ϕ_{pl} potenciál plazmatu. Dalším omezením je maximální rychlosť v_2 (viz obr. 3), při které částice nemine sondu. Ze zákonů zachování energie



Obrázek 3: Schéma dráhy částice ve stěnové vrstvě okolo sondy.

a momentu hybnosti vyplývá podmínka pro dopad částice na sondu

$$v_2^2 \left(\frac{r_s^2}{r_a^2} - 1 \right) \leq v_1^2 - \frac{2q(\phi_a - \phi_{pl})}{m},$$

kde r_a je poloměr sondy a r_s poloměr stěnové vrstvy (sheathu) okolo sondy, takže ani úhel α mezi počáteční rychlostí částice a její radiální složkou v_1 nesmí překročit jistou mezní hodnotu.

Celkový proud častic na sondu pro bezsrážkovou stěnovou vrstvu lze počítat integrálem

$$I = qS_s \int_{v_{min}}^{\infty} dv \int_0^{2\pi} d\varphi \int_0^{\alpha_m} d\alpha v^2 \sin \alpha g(v) v \cos \alpha,$$

kde S_s označuje plochu vnějšího povrchu stěnové vrstvy, $v_{min} = \sqrt{2q(\phi_a - \phi_{pl})/m}$ a α_m je maximální úhel α , pod kterým může částice dopadnout na okraj stěnové vrstvy aby ještě dopadla na sondu. $v^2 \sin \alpha$ je Jacobián transformace do sférických souřadnic a $qg(v) v \cos \alpha$ vyjadřuje hustotu elektrického proudu častic ve směru složky rychlosti v_1 .

Uvedený postup vede k výsledku

$$\begin{aligned} I &= S q \pi \int_{\sqrt{\frac{2qU}{m}}}^{\infty} v^3 g(v) \left[1 - \frac{2qU}{mv^2} \right] dv = \\ &= qS \frac{1}{2\sqrt{2m}} \int_U^{\infty} \frac{E - qU}{\sqrt{E}} f(E) dE, \end{aligned} \quad (1)$$

kde napětí mezi plazmatem a sondou $\phi_a - \phi_{pl}$ bylo označeno U a S je plocha povrchu sondy. Tento výsledek platí pro rovinou, válcovou i kulovou sondu. Pokud mají částice Maxwellovu rozdělovací funkci odpovídající teplotě T , vychází pro proud

$$\begin{aligned} I &= qS \frac{1}{4} n \bar{v} \exp\left(-\frac{qU}{kT}\right) \\ \bar{v} &= \sqrt{\frac{8kT}{\pi m}} \end{aligned} \quad (2)$$

(\bar{v} je střední velikost rychlosti častic).

Výhodou je, že libovolné rozdělení energií elektronů můžeme zjistit z druhé derivace elektronového proudu pomocí známé Druyvesteynovy formule

$$f(qU) = \frac{2\sqrt{2m|U|}}{q^{5/2}S} \frac{d^2I}{d|U|^2} \quad (3)$$

2.2 Tok částic přitahovaných k sondě

V případě částic sondou přitahovaných ($qU < 0$) se už vztahy pro proud tekoucí na rovinnou, kulovou a válcovou sondu liší. Zde jsou uvedeny vztahy platící v případě Maxwellova rozdělení:

$$I_r = \frac{1}{4} S q n \bar{v} \quad (4)$$

$$I_k = \frac{1}{4} S q n \bar{v} \left\{ \left(\frac{r_s}{r_a} \right)^2 - \left[\left(\frac{r_s}{r_a} \right)^2 - 1 \right] \exp \left(\frac{r_a^2}{r_s^2 - r_a^2} \frac{qU}{kT} \right) \right\} \quad (5)$$

$$I_v = \frac{1}{4} S q n \bar{v} \left\{ \frac{r_s}{r_a} \sqrt{\operatorname{erf} \left(\frac{r_a^2}{r_s^2 - r_a^2} \frac{-qU}{kT} \right)} + \left[1 - \sqrt{\operatorname{erf} \left(\frac{r_s^2}{r_s^2 - r_a^2} \frac{-qU}{kT} \right)} \right] \exp \left(-\frac{qU}{kT} \right) \right\}, \quad (6)$$

kde

$$\operatorname{erf} x = \frac{2}{\sqrt{\pi}} \int_0^x e^{-t^2} dt$$

Nevýhodou je skutečnost, že vztahy závisejí na poloměru r_s , který při měření není známý. Užitečná je limita pro $r_s \gg r_a$, tzv. OML (*orbital motion limited*) teorie, ve které vychází pro kulovou sondu

$$I_k \approx \frac{1}{4} S q n \bar{v} \left(1 - \frac{qU}{kT} \right)$$

a pro válcovou

$$I_v \propto \sqrt{1 - \frac{qU}{kT}}$$